

Зависимость (8) при  $X_{II} > 1$  универсальна для ядер от He до U (рис. 3, 4). Величина  $\langle X_{II} \rangle = 0,14$  и с точностью  $\sim 10\%$  одинакова для всех ядер. Постоянство  $\langle X_{II} \rangle$  для всех изученных ядер и всех  $b_{II}$  указывает на то, что эта величина является универсальным параметром ядерной материи.

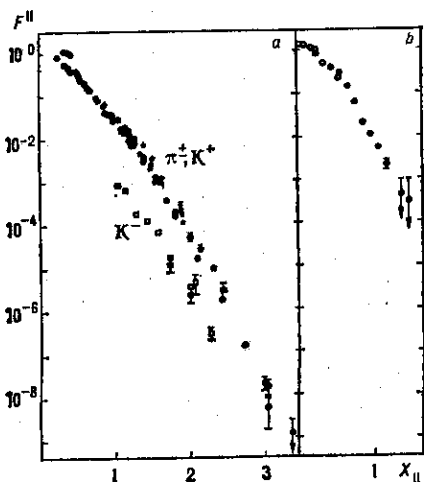


Рис. 3. Зависимость структурной функции ядер  $F^{II}$  от  $X^{II}$ , определённая из сечения кумулятивного образования  $\pi$ - и  $K$ -мезонов в протон-ядерных взаимодействиях.

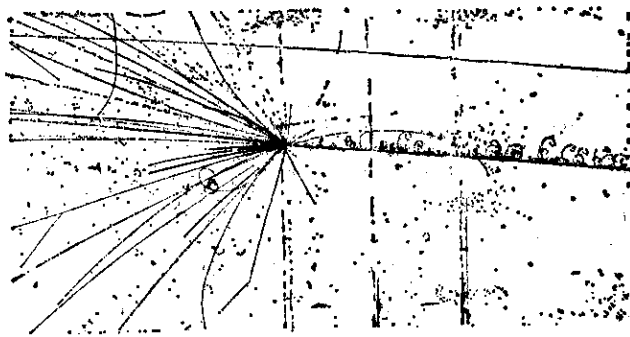


Рис. 4. Зависимость от массового числа  $A$  структурной функции ядер  $F^{II}$  в кумулятивной области ( $X^{II} > 1$ ).

Экспериментальные методы требуют достаточно интенсивных пучков релятивистских ядер. Для ускорения ядер обычно используют модифициров. *синхротроны протонные*. Получение пучков ионов с максимальным зарядом осуществляется либо предварит. ускорением малозарядных ионов, получаемых от обычных *ионных источников* с последующей полной «обдиркой» электронов на твёрдых и газообразных мишенях, либо путём использования спец. ионных источников, в к-рых образуются «голые» ядра (необходимо для устойчивого ускорения). Запуск в Дубне ускорителя «Нуклотрон» (1992) в сочетании с синхротроном даёт возможность ускорения ядер вплоть до U при высоких пространственно-временных характеристиках пучков.

Для изучения возбуждённых кластеров в пространстве 4-скоростей эффективны *трековые детекторы частиц*, позволяющие регистрировать множественное рождение частиц в условиях 4П-геометрии (*пузырьковые камеры* и др.).

Максимальная для данного ускорителя энергия ядер  $T_{II}/A_{II} = m_0 b_{II}/2$  определяет возможность наблюдения

явлений, связанных с высвобождением цветных степеней свободы. При  $b_{II} \geq 10$  образуются барионные кластеры размером, определяемым условием  $\langle b_k \rangle \approx 0,1$ . Ср. расстояние между кластерами порядка 1. При  $b_{II} \geq 50$  формируются струи. Размер струи  $\langle b_k \rangle \approx 4$ . Струи разделяются, если расстояние между ними  $b_{sp} \sim 10$ . При  $b_{II} \geq 200$  происходит множественное образование струй. Область  $b_{II} \geq 10^6$  будет достигнута после создания ядерных *коллаидеров*.

Лит.: Валдин А. М., Физика релятивистских ядер, «ЭЧАЯ», 1977, т. 8, № 3, с. 429; Ставицкий В. С., Предельная фрагментация ядер — кумулятивный эффект (эксперимент), «ЭЧАЯ», 1979, т. 10, № 5, с. 949; Egreinov A. V., Quark-parton picture of the cumulative production, «Progr. Part. and Nucl. Phys.», 1981, v. 8, p. 345; Frankfurt L. L., Strikman M. I., High energy Phenomena Short-Range nuclear structure and QCD, «Phys. Repts», 1981, v. C76, p. 218; Валдин А. М., Study of the nuclei AS quark-gluon systems in relativistic nuclear collisions, «Nucl. Phys.», 1986, v. A 447, p. 203; Валдин А. М., Диденко Л. А., Asymptotic properties of Hadron Matter in relative 4-velocity space, «Fortschr. Phys.», 1990, v. 38, № 4, p. 261.

А. М. Балдин.

**РЕЛЯТИВИСТСКИЕ ЭФФЕКТЫ** — физ. явления, наблюдаемые при скоростях тел (частиц)  $v$ , сравнимых со скоростью света  $c$ . К ним относятся: релятивистское сокращение продольных (в направлении движения тела) длин, релятивистские замедление времени, увеличение массы тела с ростом его энергии и т. п., рассматриваемые в частной (специальной) *относительности теории*. Для квантовых систем частиц (атомов, атомных ядер и др.), в к-рых относ. движение частиц происходит со скоростями  $v \ll c$ , Р. э. дают поправки к уровням энергии, пропорц. степеням отношения  $v/c$  (см., напр., *Спин-орбитальное взаимодействие*). Релятивистскими наз. также эффекты общей теории относительности (релятивистской теории тяготения), напр. эффект замедления течения времени в сильном гравитацион. поле (см. *Тяготение*).

И. Ю. Кобзарев.

**РЕНИЙ (Rhenium), Re**, — хим. элемент побочной подгруппы VII группы периодич. системы элементов, ат. номер 75, ат. масса 186,207. Природный Р. состоит из двух изотопов: стабильного  $^{186}\text{Re}$  (37,40%) и слабо  $\beta$ -радиоактивного  $^{187}\text{Re}$  (62,60%,  $T_{1/2} = 4,3 \cdot 10^{10}$  лет). Электронная конфигурация внеш. электронных оболочек  $5s^2 4p^6 4d^6 5p^6$ . Энергии последоват. ионизации 7,87 и 18,6 эВ соответственно. Атомный радиус 0,137 нм, радиус иона  $\text{Re}^{3+}$  0,052 нм. Значение электроотрицательности 1,46.

В свободном виде Р. — пластичный серебристо-серый металл с гексагональной плотноупакованной решёткой, её постоянные  $a = 0,2757$  и  $c = 0,4463$  нм. Плотность 21,03 кг/дм<sup>3</sup>,  $t_{пл} = 3190$  °С,  $t_{кип}$  ок. 5600 °С. Уд. теплоёмкость  $c_p = 25,2$  Дж/моль·К, теплота плавления 33 кДж/моль, теплота сублимации 744 кДж/моль. Темп-ра Дебая 415 К, темп-ра перехода в сверхпроводящее состояние 1,7 К. Уд. электрич. сопротивление 0,172 мкОм·м, термич. коэф. электр. сопротивления  $3,5 \cdot 10^{-3}$  К<sup>-1</sup> (при 0—400 °С). Парамагнетик, магн. восприимчивость  $\chi = 0,373 \cdot 10^{-9}$ . Теплопроводность 59—71 Вт/(м·К); Термич. коэф. линейного расширения  $6,6 \cdot 10^{-6}$  К<sup>-1</sup> (при 20—500 °С). Твёрдость по Бринеллю 1,3—1,5 ГПа, модуль упругости 467 ГПа. Высокопластичен, при 194 °С монокристалл выдерживает изгиб на 96°.

По хим. свойствам аналогичен Mn. В соединениях проявляет степени окисления от -1 до +7.

Р. применяют как эмиттер электронов (рениевые острия в автокатадах, катоды в масс-спектрометрах и т. д.), в электронной аппаратуре (подогреватели катодов и т. п.). Р. и его сплавы с W и Mo используют для изготовления термомар. В качестве радиоактивного индикатора служат  $^{186}\text{Re}$  (электронный захват,  $\beta$ -распад,  $T_{1/2} = 90,6$  ч) и др. радионуклиды Р.

С. С. Бердососов.

**РЕНОРМАЛИЗАЦИОННАЯ ГРУППА** (ренорм-группа) в теоретической физике — однопараметрич. группа преобразований, состоящих в из-